

Modelowanie i sterowanie rozmyte nieliniowego obiektu

Autor: Maciej Kłos

Opiekun pracy dyplomowej: dr inż. Piotr Marusak

Plan prezentacji

- Cel pracy
- Dotychczasowe postępy
- Plan na przyszłe semestry

Cel pracy

- Zaproponowanie innowacyjnego podejścia do procesu modelowania z użyciem logiki rozmytej
- Uzyskany model powinien dawać lepsze rezultaty pod względem:
 - Wydajności
 - Dokładności
 - Prostoty zastosowania
- Model zweryfikowany zostanie poprzez wykorzystanie go w procesie sterowania obiektu opartym na modelu

Obiekt – reaktor polimeryzacji

$$\begin{aligned}\dot{x}_1 &= - \left[Z_p \exp \left(\frac{-E_p}{RT} \right) \right. \\ &\quad \left. + Z_{f_m} \exp \left(\frac{-E_{f_m}}{RT} \right) \right] x_1 P_0(x_2, T) - \frac{F x_1}{V} + \frac{F C_{m_{in}}}{V}, \\ \dot{x}_2 &= - Z_I \exp \left(\frac{-E_I}{RT} \right) x_2 - \frac{F x_2}{V} + \frac{F I C_{I_{in}}}{V}, \\ \dot{x}_3 &= \left[0.5 Z_{T_c} \exp \left(\frac{-E_{T_c}}{RT} \right) \right.\end{aligned}$$

(76)

$$\begin{aligned}&\quad + Z_{T_d} \exp \left(\frac{-E_{T_d}}{RT} \right) \left] P_0^2(x_2, T) \right. \\ &\quad \left. + Z_{f_m} \exp \left(\frac{-E_{f_m}}{RT} \right) x_1 P_0(x_2, T) - \frac{F x_3}{V}, \right. \\ \dot{x}_4 &= M_m \left[Z_p \exp \left(\frac{-E_p}{RT} \right) \right. \\ &\quad \left. + Z_{f_m} \exp \left(\frac{-E_{f_m}}{RT} \right) \right] x_1 P_0(x_2, T) - \frac{F x_4}{V},\end{aligned}$$

where

$$\begin{aligned}P_0(x_2, T) \\ = \left[\frac{2 f^* x_2 Z_I \exp(-E_I/RT)}{Z_{T_d} \exp(-E_{T_d}/RT) + Z_{T_c} \exp(-E_{T_c}/RT)} \right]^{1/2}.\end{aligned}$$

Table 1. Kinetic parameters

i	Z_i	E_i
T_c	$3.8223 \times 10^{10} \text{ m}^3 \text{ kmol}^{-1} \text{ h}^{-1}$	$2.9442 \times 10^3 \text{ kJ kmol}^{-1}$
T_d	$3.1457 \times 10^{11} \text{ m}^3 \text{ kmol}^{-1} \text{ h}^{-1}$	$2.9442 \times 10^3 \text{ kJ kmol}^{-1}$
I	$3.7920 \times 10^{18} \text{ h}^{-1}$	$1.2550 \times 10^5 \text{ kJ kmol}^{-1}$
P	$1.7700 \times 10^9 \text{ m}^3 \text{ kmol}^{-1} \text{ h}^{-1}$	$1.8283 \times 10^4 \text{ kJ kmol}^{-1}$
f_m	$1.0067 \times 10^{15} \text{ m}^3 \text{ kmol}^{-1} \text{ h}^{-1}$	$7.4478 \times 10^4 \text{ kJ kmol}^{-1}$
$f^* = 0.58$		

Table 2. System parameters

$F = 1.00 \text{ m}^3$
$V = 0.1 \text{ m}^3$
$C_{I_{in}} = 8.0 \text{ kmol m}^{-3}$
$y^{sp} = 25\,000.5 \text{ kg kmol}^{-1}$
$F_I = 0.016783 \text{ m}^3 \text{ h}^{-1}$
$R = 8.314 \text{ kJ kmol}^{-1} \text{ K}^{-1}$
$M_m = 100.12 \text{ kg kmol}^{-1}$
$C_{m_{in}} = 6.0 \text{ kmol m}^{-3}$
$T = 335 \text{ K}$

Obiekt – reaktor polimeryzacji

- Sterowanie: $u = F_I$

- Wyjście: $y = \frac{D_I}{D_0}$

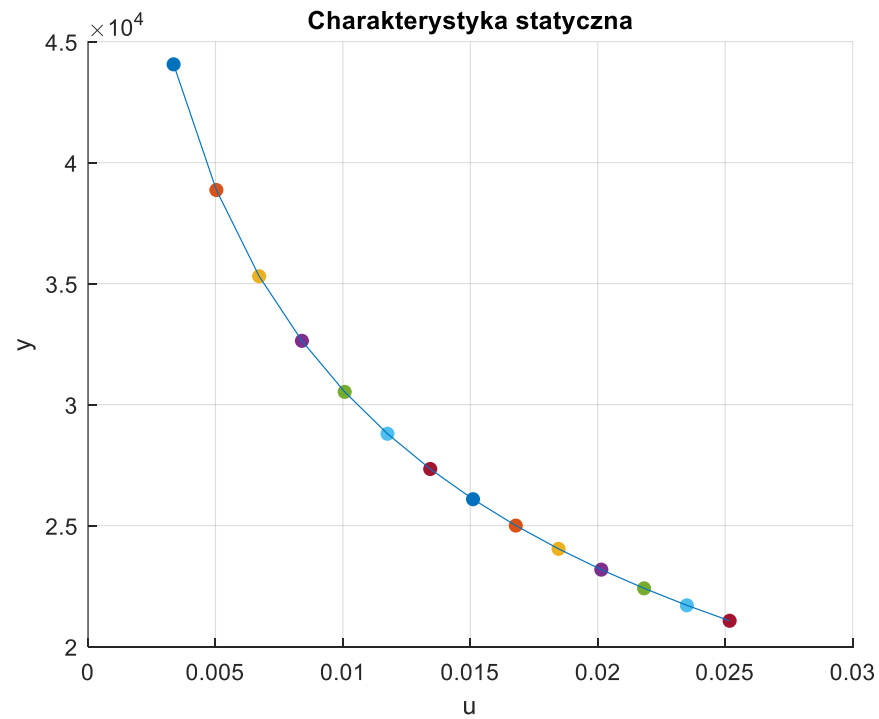
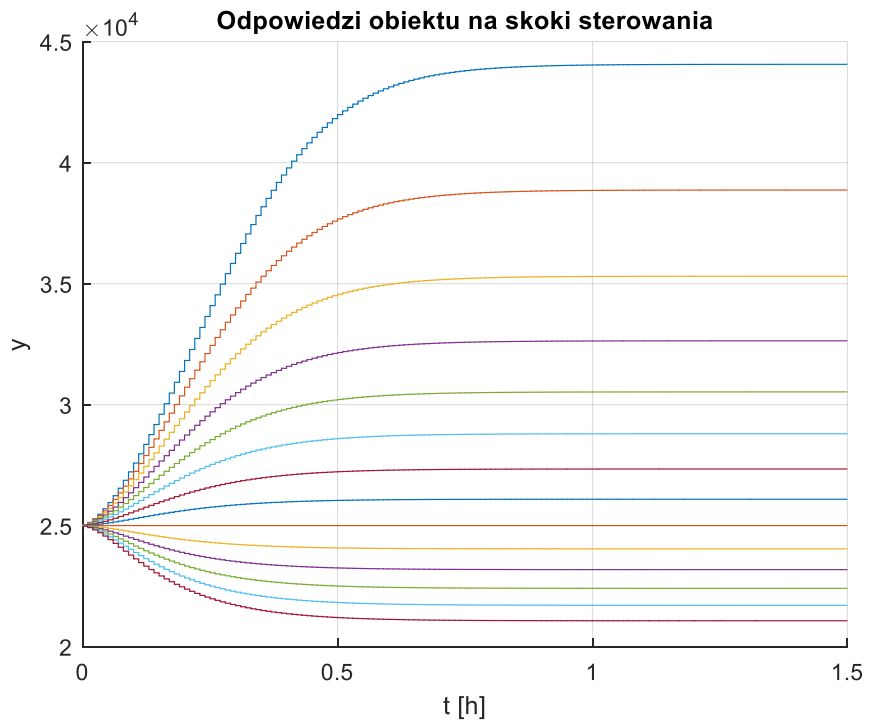
- Stan początkowy:

- $x_0 = \begin{bmatrix} 5,50677 \\ 0,132906 \\ 0,0019752 \\ 49,3818 \end{bmatrix}$

- $u_0 = 0,016783$

- $y_0 = 25000,5$

Symulacje



Plan na przyszłe semestry

- Dalsze badania w zakresie tworzenia modeli rozmytych
- Zastosowanie modelu w algorytmie regulacji
- Weryfikacja podejścia na obiekcie o większej wymiarowości

Dziękuję za uwagę